

Robust control of wheel slip using weighted fuzzy model

Mojtaba S. Zadeh, A. Akbari, M. Reza Zamani Behbahani

Abstract:

The control of wheel slip dynamics is one of the most critical areas of chassis control, since it is the basis for most critical of the main chassis control subsystems like braking control (ABS), traction control (TCS), and stability control (VSC-ESC). In this paper, a nonlinear adaptive controller is analytically designed for longitudinal wheel slip by using of the new method, based on Lyapunov theory mixed with weighted Fuzzy model. The effectiveness of the method is demonstrated by the experimental results and real time model simulations with different longitudinal speeds and different kinds of road surface conditions.

Keywords: NLLS, Optimum wheel slip, ESP, Recursive optimization, Antilock-braking system

کنترل مقاوم لغزش وسیله نقلیه با اعمال الگوریتم فازی وزن دار

مجتبی شریف زاده^۱ احمد اکبری^۲ رضا زمانی^۳

^۱ دانشجوی کارشناسی ارشد کنترل دانشگاه صنعتی سهند تبریز؛ دانشکده مهندسی برق و کامپیوتر دانشگاه تبریز؛ m_sharifzadeh@sut.ac.ir

^۲ استادیار دانشکده مهندسی برق گروه کنترل دانشگاه صنعتی سهند تبریز؛ a.akbari@sut.ac.ir

^۳ دانشجوی کارشناسی ارشد کنترل دانشگاه صنعتی سهند تبریز؛ mr_zamani@sut.ac.ir

چکیده

در این مقاله به وسیله ترکیب روش‌های کنترل فازی با روش‌های کنترل تطبیقی و لیاپانوف یک قانون کنترل مقاوم با شرایط جاده‌ی متنوع طراحی شده است. سیستم‌های کنترل دینامیک خودرو، ایده نسبتاً جدیدی در زمینه کنترل بلادرنگ ایمنی خودرو می‌باشند که تحت عناوین مختلفی از قبیل ESC، VSC، AEB توسط شرکت‌های مختلف عرضه گشته‌اند. در این میان استفاده از زیر سیستم ABS برای کنترل مستقل هر چرخ و نهایتاً رسیدن به رفتار مطلوب خودرو اهمیت ویژه‌ای کسب کرده است. کارهای متفاوتی در زمینه کنترل لغزش به عنوان زیرمجموعه اساسی در این بعد، صورت گرفته است که تحقیقات روی طراحی کنترلر مقاوم‌تر نسبت به تغییرات دینامیکی و شرایط جاده‌ای ادامه دارد. نتایج شبیه‌سازی نشان می‌دهد که قانون کنترل پیشنهادی مقاومت بالایی نسبت به تغییرات شرایط دینامیکی وسیله و تخمین‌های صورت گرفته برای شرایط جاده‌ای مختلف داراست. کلمات کلیدی: سیستم ESP، AEB، کنترل لغزش، ترمز ضدقفل

می‌دهد [۱] که نتایج تخمین تا حد قابل قبول به رفتار واقعی خودرو نزدیک است به گونه‌ای که کنترل حالت‌های ناشی از آن سیستم را پایدار می‌نماید شکل (۱).

اولین کاربرد سیستم ترمز ضدقفل (ABS^۳) در صنعت خودرو با الهام‌گیری از صنعت هواپیمایی توسط یک شرکت فرانسوی به اسم لینکلن در سال ۱۹۵۴ صورت پذیرفت. هر چند کاربردهای نخست سیستم ضدقفل به جنگ جهانی دوم در جنگنده‌های B-47 باز میگردد [۱] و برخی مقالات اشاره به ایده اولیه کاربرد آن در اوایل سال ۱۹۰۰ در سیستم قطار دارند. [۲،۳] اهمیت بالای ترمز ضدقفل و تاثیر آن با سیستم پردازنده آنالوگ تحقق نمی‌یافت. در همین راستا شرکت‌های توپوتا و نیسان دستیابی به فناوری مبتنی بر الکترونیک ضدقفل را اعلام کردند. سرانجام در سال ۱۹۷۸ شرکت بوش با همکاری شرکت دایلمر-بنز موفق به ارائه سیستم ضدقفل گردید [۲].

نسل جدید ترمزهای ضدقفل (ABS) و سیستم اضطراری ترمز اتوماتیک (AEB^۴) با تخمین هوشمند شرایط مختلف جاده‌ای و نهایتاً رؤیت آنی

۱- مقدمه

اگرچه تعداد تصادفات در کشورهای دنیا در طول ده سال گذشته کاهش چندانی نداشته است، اما تعداد تلفات ناشی از این تصادفات بطور مداوم در حال کاهش است. در این بین، استفاده از سیستم‌های کنترلی جهت بهبود عملکرد دینامیکی خودرو و در نتیجه افزایش ایمنی آن به طور روزافزون در حال افزایش است و بسیاری از کارخانجات خودرو سعی در استفاده از سیستم‌هایی همچون ضدقفل، کنترل پایداری خودرو^۱، کنترل، برنامه پایداری خودرو^۲ ... دارند. لذا امروزه بحث کنترل و تخمین لغزش خودرو اهمیت ویژه‌ای پیدا کرده است. از آنجا که تشخیص کامل رفتار خودرو، نیازمند نصب تعداد زیادی سنسور بر روی خودرو می‌باشد و از طرفی نصب این سنسورها قیمت خودرو را غیر اقتصادی می‌کند لذا از الگوریتم‌های تخمین و ریاضیات برای شناسایی رفتار خودرو استفاده می‌شود و کنترل سیستم بر این مبنا صورت می‌گیرد. نتایج حاصله نشان

³ Anti-Lock Braking System

⁴ Automatic Emergency Braking

¹ Electronic Stability Control (Esc)

² Electronic Stability Prog. (Esp)

Double-Corner تعمیم داد [۵،۸].

$$\begin{cases} J\dot{\omega} = rF_x - T_b \\ m\dot{v} = -F_x \end{cases} \quad (1)$$

در رابطه (۱) w [rad/s] سرعت زاویه ای چرخ است که توسط سنسور انکودر وسیله اندازه گیری می گردد. T_b [Nm] گشتاور ترمز، v ، سرعت خطی وسیله نقلیه و J [Kg m^2]، r [m] و m [Kg] به ترتیب ممان اینرسی چرخ، شعاع چرخ و جرم Single-Corner می باشند.

F_x نیروی اصطکاک چرخ و با رابطه (۲) قابل بیان می باشد:

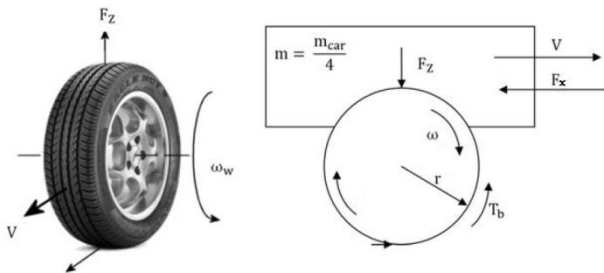
$$F_x = F_z \mu(\lambda, \beta_t, v_r) \quad (2)$$

که در آن

F_z نیروی عمودی محل تقاطع تایر - جاده است.

به ترتیب ضرایب رابطه اصطکاک μ باتوجه به شرایط اصطکاک جاده ای و زاویه جانبی چرخ نسبت به صفحه عرضی می باشد [۵،۸]. λ نسبت لغزش طولی بوده، $\lambda \in [-1, 1]$ و به صورت رابطه

$$\lambda = (v - rw) / \max\{rw, v\} \quad (3)$$

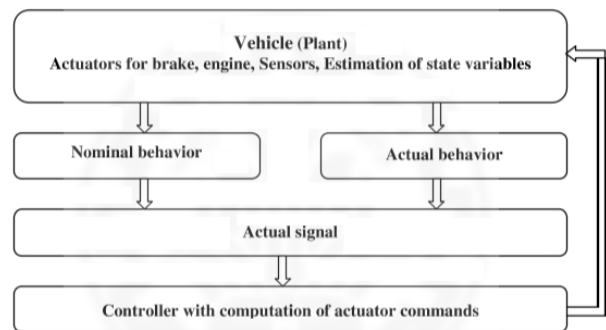


شکل ۲. مدل استاندارد Single-Corner

باتوجه به اینکه شرایط دینامیک مساله روی خط راست در نظر گرفته شده می توان ضریب زاویه β را نادیده گرفت. دینامیک و شرایط مساله برای حالت ترمز (شتاب منفی) در نظر گرفته شده، لذا مخرج رابطه (۳) برابر v در نظر گرفته شده است. نهایتاً می توان رابطه دیفرانسیل (۴) را از آن استخراج نمود:

$$\lambda = -\frac{r}{v} \dot{\omega} + \frac{rw}{v^2} \dot{v} \quad (4)$$

پارامترهای اصطکاک اعم از نسبت لغزش^۵ و ضریب اصطکاک^۶ پارامترهای موردنیاز کنترل کننده را فراهم می آورد. به گونه ای که عمل ترمز در شرایط مختلف جاده ای اعم از برفی، آسفالت و .. با حداکثر بازدهی و نیروی ممکن صورت می پذیرد. گفتنی است در پی آن چرخ قفل نشده کنترل فرمان مطلوب تری خواهد داشت. شایان ذکر است، رُویتگر اشاره شده در سایر قابلیت های نسل جدید خودروها اعم از کنترل پایداری الکترونیکی خودرو (ESC^۷) و سیستم کنترل لغزش خودرو (TCS^۸) نقش کاربردی ایفا می نماید [۳،۴].



شکل ۱. عملکرد کنترل پایداری خودرو

بخش بعدی به بیان روشهای مدلسازی محوری مساله که مرجع اصلی تحقیقات امروزه را به خود اختصاص داده، پرداخته است. ابتدا مدلسازی خودرو در حالت Single-Corner بیان شده [۵] و در ادامه مدلسازی اصطکاک بر حسب لغزش صورت گرفته است. [۶]

در بخش ۳. پایداری سیستم مورد بررسی قرار گرفته و در ادامه الگوریتم کنترلی بیان شده است. تابع تبدیل سیستم خطی شده در حالت کنترل لغزش محاسبه شده و نهایتاً، پایداری آن با کنترلر مورد بحث قرار گرفته است. در نهایت به بیان ایده کنترل تلفیقی فازی باتوجه شرایط مختلف جاده ای پرداخته شده است.

در پایان بخش شبیه سازی و نتایج گزارشی از خروجی الگوریتم اعمال شده و مقایسه آن با نتایج گذشته می باشد که نشان می دهد الگوریتم بیان شده ضمن نداشتن حساسیت به نویز در مقابل تغییرات شرایط مختلف جاده ای مقاوم است.

۲- دینامیک و مدلسازی مساله

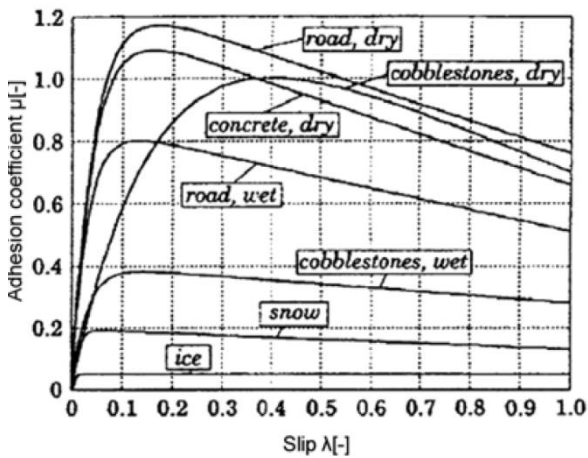
نخست به بیان دینامیک خودرو می پردازیم. جهت سهولت در بیان الگوریتم و راهکارهای کنترل و تخمین مدل ساده و استاندارد Single-Corner گزیده شده تا در صورت خروجی مطلوب مساله بتوان به مدل های ترکیبی نظیر

⁷ Electronic Stability Control

⁸ Traction Control System

⁵ Longitudinal Wheel Slip

⁶ Friction coefficient



شکل ۴. نمودار ضریب اصطکاک بر حسب لغزش - نتایج واقعی

برای عبارت ضریب اصطکاک بر حسب لغزش مدل های مختلفی بیان و قید شده اند، [۶] از جمله مدل مجیک فرمولا و مدل بورکهارت که دو مدل معروف و اشاره شده در مقالات معتبر می باشند. [۴]، [۱] که در این مقاله از مدل معروف بورکهارت^{۱۰} [۷] بهره خواهیم جست.

$$\mu(\lambda; v_r) = V_{r1}(1 - e^{-\lambda v_{r2}}) - \lambda v_{r3} \quad (6)$$

رابطه (۶) مدل بورکهارت را بازگو می سازد.

۳- تحلیل پایداری و طراحی کنترل کننده

حال یک سیستم غیرخطی بر حسب پارامتر λ به صورت رابطه (۷) در اختیار داریم که $\mu(\lambda)$ خود تابعی بر حسب پارامتر لغزش (رابطه ۶) می باشد.

$$\dot{\lambda} = -\frac{1}{v} \left(\frac{1-\lambda}{m} + \frac{r^2}{J} \right) F_z \mu(\lambda) + \frac{r}{vJ} T_b \quad (7)$$

با در نظر گرفتن $v = \frac{rw}{1-\lambda}$ میتوان رابطه (۷) را به صورت زیر (۸) بازنویسی نمود:

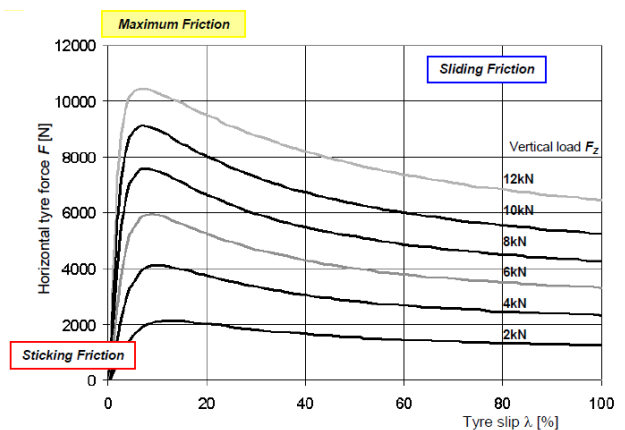
$$\dot{\lambda} = \frac{\lambda - 1}{Jw} \left(\left(r + \frac{J(1-\lambda)}{rm} \right) F_z \mu(\lambda) - T_b \right) \quad (8)$$

سیستم رابطه (۸) یک سیستم غیرخطی به صورت (Autonomous) می باشد که ریشه های $\dot{\lambda} = 0$ نقاط تعادل سیستم را نتیجه می دهد. [۹] که با رسم سیستم فوق به ازای دو پارامتر $f(\lambda, \dot{\lambda})$ مشهود است.

نهایتاً با جاگذاری روابط (۴) در (۳) و استفاده از رابطه (۲) در دینامیک سیستم، رابطه مهم (۵) نتیجه می گردد:

$$\begin{cases} \dot{\lambda} = -\frac{1}{v} \left(\frac{1-\lambda}{m} + \frac{r^2}{J} \right) F_z \mu(\lambda) + \frac{r}{vJ} T_b \\ m\dot{v} = -F_z \mu(\lambda) \end{cases} \quad (5)$$

باتوجه به اینکه در سیستم موجود در رابطه (۵) تغییرات سرعت طولی سیستم (بیان شده با v) از تغییرات سرعت زاویه ای سیستم (بیان شده با w یا λ) بسیار کمتر است، می توان از عبارت دوم رابطه (۵) صرف نظر کرد. [۸] شکل (۳) نمودار نیروی اصطکاک بر حسب لغزش را به ازای مقادیر متفاوت نیروی عمودی وارد بر چرخ نشان می دهد.



شکل ۳. نمودار نیروی اصطکاک بر حسب لغزش

بنابه رابطه (۲)، رابطه به صورت $\mu(\lambda; v_r) = F_x / F_z$ قابل بیان است. رابطه اصطکاک بر حسب ضریب لغزش در شرایط جاده-ای متفاوت به صورت نمودار شکل (۳) نمایان است. داده های مساله با شرایط آزمایشگاهی^۹ محاسبه گشته اند [۸].

⁹ Experimental

می توان به صورت رابطه ۱۰ لحاظ کرد:

$$\begin{cases} \dot{z} = Az + \frac{r}{Jv}u, \\ y_{out} = z \end{cases} \quad (10)$$

که در آن:

$$A = \frac{F_z}{v} \left[\frac{\mu(\bar{\lambda})}{m} - \dot{\mu}(\bar{\lambda}) \left(\frac{1 - \bar{\lambda}}{m} + \frac{r^2}{J} \right) \right] z,$$

جهت در نظر گرفتن سیستم (۸) به عنوان یک سیستم خطی سرعت طولی سیستم v به عنوان یک سرعت ثابت فرض شده است. البته این مقدار طی بازه های گسسته توسط تخمین گر سیستم یا سیستم اندازه گیری سرعت طولی به روز رسانی می گردد که در ادامه بدان اشاره خواهیم داشت. با توجه به نکته (۱) و توضیحات فوق نهایتاً تابع تبدیل سیستم بر حسب خروجی لغزش و ورودی گشتاور ترمز به صورت رابطه (۱۱) به دست می آید. [۹]

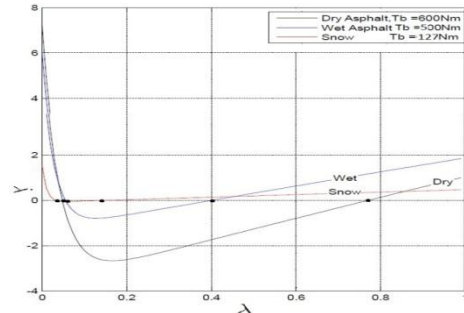
$$G_\lambda(s) = \frac{\lambda}{T_b} = \frac{\frac{r}{Jv}}{s + \frac{F_z}{mv} \left[\dot{\mu}(\bar{\lambda}) \left(1 - \bar{\lambda} + \frac{mr^2}{J} \right) - \mu(\bar{\lambda}) \right]} \quad (11)$$

مشابهاً با اعمال رابطه تعریف شده برای شتاب منفی به صورت $\eta := -\frac{r\dot{w}}{g}$ داریم:

$$G_\eta(s) = \frac{\eta}{T_b} = \frac{\frac{r}{Jg} \left[s + \frac{F_z}{mv} \left(\dot{\mu}(\bar{\lambda})(1 - \bar{\lambda}) - \mu(\bar{\lambda}) \right) \right]}{s + \frac{F_z}{mv} \left[\dot{\mu}(\bar{\lambda}) \left(1 - \bar{\lambda} + \frac{mr^2}{J} \right) - \mu(\bar{\lambda}) \right]} \quad (12)$$

بنابراین سیستم خروجی شتاب منفی بر حسب ورودی گشتاور به صورت سیستم (۱۲) به دست می آید [۹].

متدهای کنترل سیستم:



شکل ۵، نمودار λ بر حسب پارامتر λ

شکل (۵) نموداری از سیستم رابطه (۸) با دو پارامتر $f(\lambda, \dot{\lambda})$

به ازای شرایط مختلف جاده ای اعم از برفی، آسفالت خشک و آسفالت مرطوب می باشد. همان طور که از شکل (۵) واضح است هر سیستم دارای دو نقطه تعادل است. مسیر تراژکتوری ها مشخص کننده این است که نقطه تعادل نخست پایدار مجانبی محلی و نقطه تعادل دوم ناپایدار می باشد [۹].

خطی سازی سیستم حول نقطه تعادل پایدار، سیستم خطی حول آن نقطه را نتیجه می دهد [۹].

نکته ۱:

فرض بر این سیستم غیرخطی به صورت (۷) داریم که نقاط تعادل آن $x_0 = (x_{10}, x_{20})$ می باشد.

$$\begin{cases} \dot{x}_1 = f_1(x_1, x_2) \\ \dot{x}_2 = f_2(x_1, x_2) \end{cases} \quad (7)$$

سیستم خطی شده به صورت $\begin{cases} \dot{z}_1 = a_{11}z_1 + a_{12}z_2 \\ \dot{z}_2 = a_{21}z_1 + a_{22}z_2 \end{cases}$ نتیجه می شود که در آن

داریم:

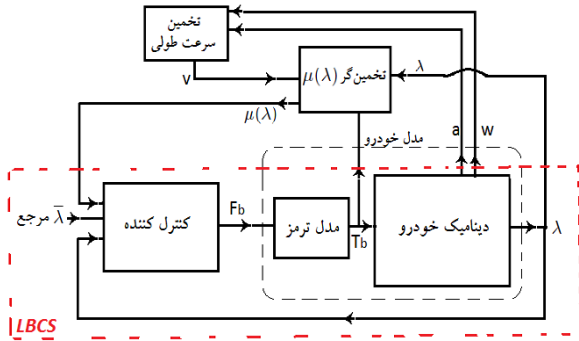
$$\dot{z} = Az, \quad A = \begin{bmatrix} a_{11} & a_{12} \\ a_{21} & a_{22} \end{bmatrix} = \left. \begin{bmatrix} \frac{\partial f_1}{\partial x_1} & \frac{\partial f_1}{\partial x_2} \\ \frac{\partial f_2}{\partial x_1} & \frac{\partial f_2}{\partial x_2} \end{bmatrix} \right|_{x=x_0} \quad (8)$$

حال سیستم غیرخطی γ حالت خاصی از مساله فوق بوده و با خطی سازی حول نقطه تعادل پایدار $\bar{\lambda}$ و با در نظر گرفتن تغییر متغیرهای رابطه ۹:

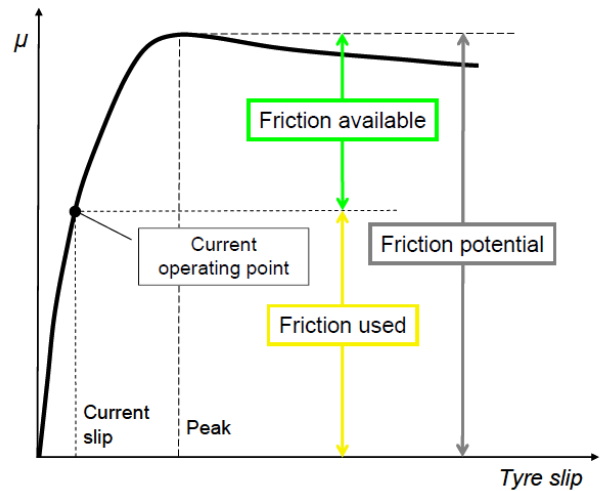
$$x_1 = \lambda, x_2 = 0, y_{out} = z, T_b = u,$$

$$\dot{\mu}(\bar{\lambda}) = \left. \frac{\partial \mu}{\partial \lambda} \right|_{\lambda = \bar{\lambda}} \quad (9)$$

در آن حدود ۱۰ میلی ثانیه و $w_{act} = 70 \text{ rad/s}$ در نظر گرفته می شود.



شکل ۷. ساختار کلی در کنترل پایداری لغزش

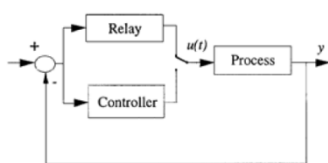


شکل ۶. بیان پتانسیل اصطکاک

شکل (۷) مدل سیستم کنترل خطی ترمز را بازگو می سازد. اساس این سیستم بر مبنای کنترل لغزش خودرو و پیدارسازی آن در مقدار مرجع مورد نظر استوار است. با مراجعه به شکل (۱) بیشینه ضریب اصطکاک و نهایتاً نیروی ترمزی بر حسب لغزش مورد تقاضا قابل بیان است و همین مقدار را می توان طی شناسایی به عنوان لغزش مرجع به کاربرد [۸].

روش تنظیم خودکار مبتنی بر فیدبک رله ای به فرم شکل (۸) می باشد. به روز رسانی پارامترهای PID بر اساس روابط بهره و پربود بحرانی (۱۷) محقق می گردد [۱۰].

$$\arg G(jw_u) = -\pi, \quad |G(jw_u)| = \frac{1}{k_u}, \quad w_u = \frac{2\pi}{p_u} \quad (17)$$



شکل ۸. کنترل PID خود تنظیم مبتنی بر فیدبک رله ای

در ذیل به بیان کنترل سیستم به روش لیاپانف پرداخته شده است. بنابر رابطه (۸) می توان نوشت .

$$\dot{\lambda} = -\frac{1-\lambda}{Jw} \left((\Psi(\lambda)) - T_b \right) \quad (18)$$

$$\Psi(\lambda) = \left(r + \frac{J(1-\lambda)}{rm} \right) F_z \mu(\lambda)$$

شکل (۶) نمودار اصطکاک بر حسب لغزش را نشان می دهد و به بیان پتانسیل اصطکاک پرداخته است. همان طور که از شکل (۷) بر می آید لغزش در یک مقدار بهینه دارای پیک اصطکاک می باشد. ایده کنترلی بر این پایه استوار است که با کنترل لغزش در مقدار بهینه اصطکاک سیستم را در حداکثر نگهداریم.

باتوجه به رابطه تابع تبدیل لغزش سیستم (۱۱)، معادله مشخصه سیستم به صورت (۱۵) قابل بیان است.

$$\varphi_{\eta}(s) = s + \frac{1}{v} \left[\frac{\dot{\mu}(\bar{\lambda}) F_z}{m} \left(1 - \lambda + \frac{mr^2}{J} \right) + K \frac{r}{J} \right] - \frac{\mu(\bar{\lambda}) F_z}{mv} \quad (15)$$

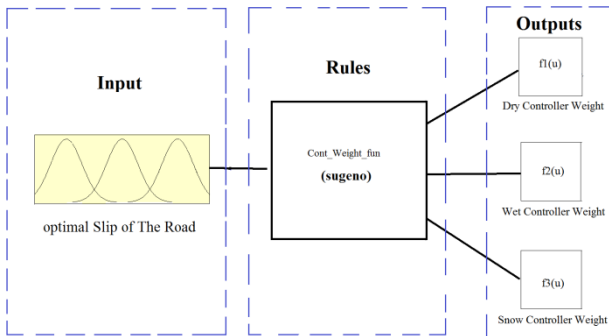
که نهایتاً شرط پایداری سیستم با بررسی وضعیت ریشه های رابطه (۱۵) به صورت رابطه (۱۶) بدست می آید.

$$K > -\frac{\dot{\mu}(\bar{\lambda}) F_z J}{mr} \left((1 - \bar{\lambda}) + \frac{mr^2}{J} \right) + \frac{\mu(\bar{\lambda}) F_z J}{mr} \quad (16)$$

از رابطه (۱۶) استنباط می گردد کنترل پایداری لغزش سیستم نیازمند تخمین ضریب اصطکاک بر حسب لغزش خواهد بود. لذا همان گونه که در سیستم شکل (۸) مشخص شده محاسبه یا برآورد ضرایب مجهول فرم بورکهارت (۶) بحثی جداگانه می طلبد [۸].

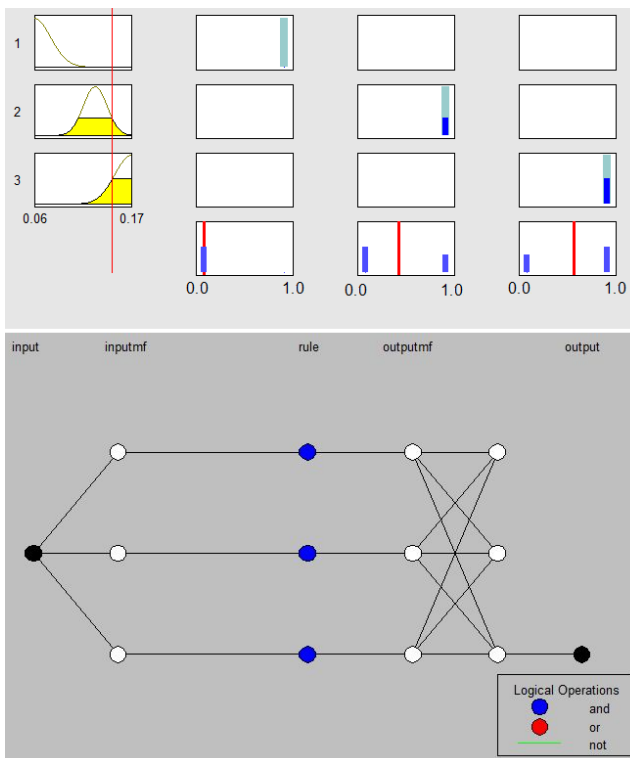
مزیت کنترل به روش پایداری لغزش، امکان کنترل مقاوم نسبت به شرایط مختلف جاده ای و نیز در سرعت های مختلف می باشد [۱۱]. هرچند ایراد کار عامل نویز در سرعت های پایین می باشد [۱۱].

دینامیک حلقه بسته سروو کنترلر ترمز الکترومکانیکی در نظر گرفته شده EMB دارای تابع تبدیل سیستم مرتبه اول دارای تاخیر باورودی نیرو در خروجی گشتاور ترمز به فرم $G_b = \frac{w_{act}}{s+w_{act}} e^{-sT}$ می باشد که زمان تاخیر

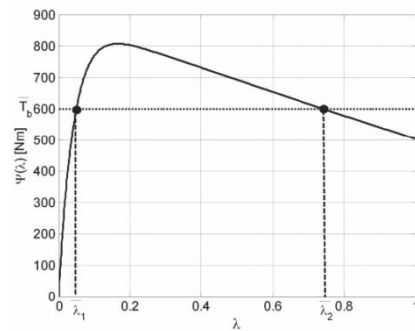


شکل ۱۰. ساختار فازی ارائه شده در مساله

شکل (۱۰) ساختار فازی^{۱۱} مساله را بیان می‌نماید. ورودی لغزش بهینه^{۱۲} به ازای شرایط مختلف جاده‌ای مقداری بازه‌ای به خود می‌گیرد که می‌تواند به عنوان ورودی مساله بکار گرفته می‌شود. در شکل (۱۱) عملکرد فازی در قالب فلوجارت بیان گشته و وابستگی‌های ورودی به خروجی به صورت گره‌ها بیان شده است. نمودار نمونه نشان‌دهنده مثالی است برای شرایط جاده‌ای مابین مرطوب و برفی. به طوری که موجب می‌گردد کنترلرهای مربوط به آنها با وزن محاسبه شده از الگوریتم فازی عمل نمایند.



شکل ۱۱ فلوجارت و نمودار نمونه الگوریتم فازی وزن دار



شکل ۹. نمودار گشتاور ترمز برحسب لغزش

در شکل (۹) با توجه به مسیر تراژکتوری‌ها مشخص است که نقطه تعادل نخست پایدار مجانبی محلی و نقطه تعادل دوم ناپایدار می‌باشد. تابع لیاپانف به فرم زیر پایداری سیستم را تأمین می‌کند.

$$W(\lambda, \theta) = -\lambda + (\bar{\lambda} - 1) \ln(1 - \lambda) + \varepsilon(\theta) + c \quad (۱۹)$$

که در آن

$$\varepsilon(\theta) := \ln(T_{bMax} - \theta)^{\frac{\tau}{k_\lambda}} - \ln(\theta - T_{bMin})^{\frac{\tau+1}{k_\lambda}}$$

$$\text{و } \tau = \frac{\bar{\theta} - T_{bMax}}{T_{bMax} - T_{bMin}} < 0, \tau < -1 \text{ می‌باشد.}$$

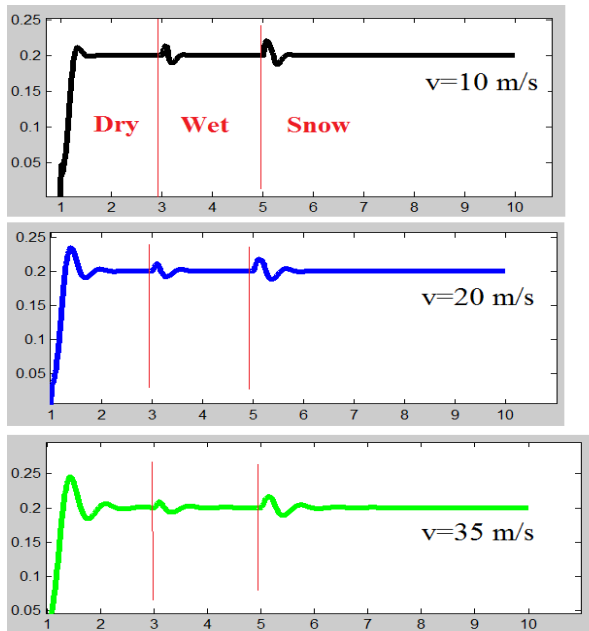
θ در نظر گرفته شده در رابطه فوق T_b مساله می‌باشد و نهایتاً قانون کنترل به صورت رابطه (۲۰) بیان می‌گردد.

$$w\dot{\theta} = k_\lambda \frac{1}{J} (\lambda - \bar{\lambda})(\theta - T_{bMax})(\theta - T_{bMin}) \quad (۲۰)$$

$J [Kgm^2]$ ممان اینرسی چرخ می‌باشد. تفاوت ساختاری ارائه شده با شکل ۸ در این است که کنترلر و دینامیک ترمز یکجا در نظر گرفته شده و خروجی کنترلر به صورت گشتاور ترمزی (T_b) ارائه می‌گردد و همانگونه که در رابطه فوق اشاره گشت، به‌روز رسانی می‌شود. هر دو روش کنترل ارائه شده پایداری سیستم را در با تغییرات سرعت محقق می‌سازند. هرچند خروجی روش لیاپانف نسبت به تغییرات نویز مطلوب‌تر است. مساله اصلی مقاوم بودن کنترل کننده نسبت به تغییرات شرایط جاده‌ای است. جهت این مهم الگوریتم جدیدی را جهت تلفیق با یکی از روش‌های کنترلی فوق به صورت زیر تعریف می‌کنیم. الگوریتم فازی توصیف شده در موازات قانون کنترلی فوق می‌باشد به گونه‌ای که برای شرایط جاده‌ای وزن‌هایی در نظر گرفته می‌شود که به عنوان خروجی الگوریتم فازی مورد بحث قرار می‌گیرد.

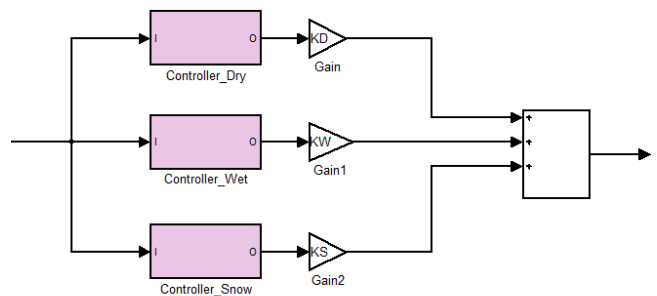
¹²Optimal Slip or λ_{opt}

¹¹ Fuzzy Structure



شکل ۱۳. نمودار لغزش کنترل شده بر حسب زمان و شرایط متفاوت دینامیکی و جاده‌ای

شکل (۱۱) ضرایب کنترلی اعمالی در کنترل کننده های پارالل را نشان می دهد که از الگوریتم فازی استنتاج شده اند. همان طور که در شکل (۴) بیان شد، شرایط جاده ای صرف به سه شرط اصلی فوق بسته نبوده و شرایط ترکیبی اعم از سنگفرش^{۱۳} و غیره وجود دارد. با توجه به اینکه نتایج شبیه سازی، تطبیق پذیری شرایط مختلف تست شده را بازگو می نماید و صرفاً جهت بودن الگوریتم بیان شده و بدون اینکه در کلیت مساله اشکالی وارد گردد سه حالت مختلف اصلی جاده ای در مساله آورده شده اند.



شکل ۱۲. ساختار کنترل وزن داده شده

۴- شبیه سازی و نتایج:

خروجی شبیه نشان می دهد با وجود تغییرات جاده ای و در سرعت های متفاوت مقدار لغزش به مقدار مطلوب همگرا شده است. نتایج حاکی از آن است حساسیت کنترل کننده در سرعت های پایین تر از $v=5\text{m/s}$ به نوبز افزایش می یابد و القای ناپایداری و پایدار نوسانی در سیستم را در پی دارد. هرچند از دید عملی این نگرانی در سرعت های متمایل به صفر مطرح نیست. در سرعت های بیش تر از مقدار مذکور خروجی مطلوب و پایدار رویت می گردد. همچنین در نتایج شبیه سازی ملاحظه می گردد مقاومت روش مذکور نسبت به شرایط متنوع جاده ای بالاست. امروزه جهت کنترل ترمز روش های غیرخطی و مقاوم متنوعی مطرح شده است [۱،۳،۴،۶]. از مزایای روش های کنترلی غیرخطی به روش های مبتنی بر PID ذکر شده در این است که حساسیت به نوبز کمتری در خروجی احساس می گردد [۱۱]. حال نقطه قوت الگوریتم تلفیق داده شده در این است که نشان می دهد با اعمال قوانین فازی و وزن دادن به کنترلر مساله می توان کنترلر را نسبت به شرایط متنوع جاده ای مقاوم کرد.

شبیه سازی سیستم فوق به کمک محیط سیمولینک و دستورات نرم افزار متلب و جعبه ابزار فازی انجام شده است. نمودار لغزش کنترل شده بر حسب زمان در شرایط متفاوت دینامیکی و جاده ای در نمودار شکل (۱۳) بیان شده است. همان طور که مشخص است نمونه شبیه سازی شده با اعمال ورودی لغزش مرجع از ثانیه یکم با در نظر گیری اغتشاش واحد بعد از ثانیه دوم در شرایط مختلف جاده ای در سرعت های مختلف انتخابی اجرا گشته است.



Mojtaba Sharifzadeh Sahand university

8. Mara Tanelli, L. P. (2008). *Real-time identification of tire-road friction conditions*. 17th IEEE International Conference on Control Applications. Texas, USA.

9. Khalil, H. K. (2002). *Nonlinear Systems*, 3rd edition,.

10. Rasmussen, H. (2002). *Automatic Tuning of PID-Regulators*. Aalborg University, Dept. of Control Engineering.

11. Tanelli, S. M. (2010). *Active Braking Control Systems Design for vehicles*. Milano Italy: Springer-Verlag.

1. Petersen, I.: *Wheel slip control in ABS brakes using gain scheduled optimal control with constraints*. Master's thesis, Norwegian University of Science and Technology, Trondheim, Norway (2003)

2. Leen, G., Heffernan, D.: *Expanding automotive electronic systems*. *Computer*, 88–93 (2002)

3. Wellstead, P., Pettit, N.: *Analysis and redesign of an antilock brake system controller*. *IEE Proceedings on Control Theory and Applications* 144, 413–426

4. Buckholtz, K.: *Reference input wheel slip tracking using sliding mode control*. In: *SAE Technical Paper 2002-01-0301* (2002)

5. Kiencke, U., Nielsen, L.: *Automotive Control Systems*. Springer, Berlin (2000)

6. Li Li, F.-Y. W. (2007). *Advanced Motion Control and sensing for intelligent Vehicles, Advanced Tire Friction Modeling*. Boston, MA: Springer US.

7. Burckhardt, M.: *Fahrwerktechnik: Radschlupf-Regelsysteme*. Vogel Verlag, Würzburg (1993)